

РОССИЙСКАЯ АКАДЕМИЯ НАУК
СИБИРСКОЕ ОТДЕЛЕНИЕ

ЖУРНАЛ
СТРУКТУРНОЙ
ХИМИИ
НАУЧНЫЙ ЖУРНАЛ

Основан в 1960 г.

Выходит 12 раз в год

ТОМ 62

Январь

№ 1, 2021

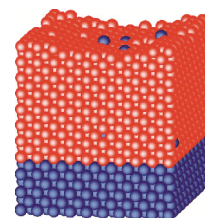
СОДЕРЖАНИЕ

ТЕОРИЯ СТРОЕНИЯ МОЛЕКУЛ И ХИМИЧЕСКОЙ СВЯЗИ

Игошкин А.М.

Молекулярно-динамическое исследование диффузии водорода в палладиево-серебряных пленках

Ключевые слова: метод молекулярной динамики, наноструктуры, тонкие пленки, палладий, серебро, сплавы, границы раздела, диффузия, водород

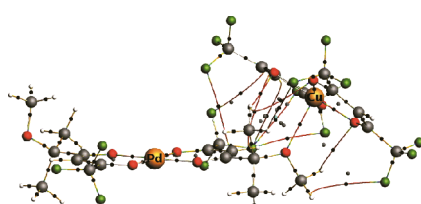


5

Мирзаева И.В., Козлова С.Г., Крисюк В.В.

Квантово-химическое исследование стабильности медно-палладиевых комплексов в газовой фазе

Ключевые слова: β -дикетонаты переходных металлов, теория функционала плотности, невалентные взаимодействия, теория AIM, NBO

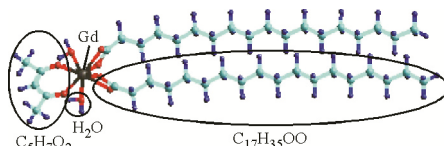


13

Иванин С.Н., Панюшкін В.Т., Бузько В.Ю., Селивантьев Ю.М., Костирина Т.В.

Синтез, исследование и молекулярное моделирование возможных структур гетеролигандного комплекса стеарата гадолиния с ацетилацетоном

Ключевые слова: координационное соединение, комплексы гадолиния, молекулярное моделирование, колебательные характеристики, молекулярная механика

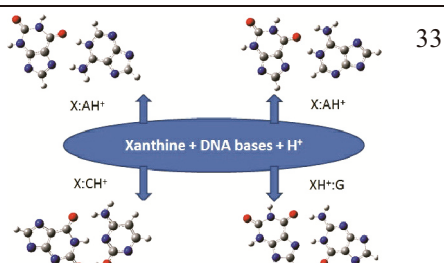


23

Qiu Z.-M., Zhang X.-P.

The relative stability of protonated base pairs between xanthine and DNA bases

Keywords: DNA bases, proton affinity, xanthine



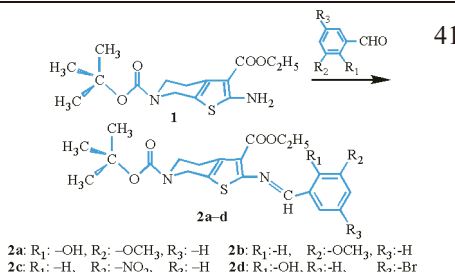
33

ИССЛЕДОВАНИЕ СТРОЕНИЯ МОЛЕКУЛ ФИЗИЧЕСКИМИ МЕТОДАМИ

Çolak N., Karayel A., Buldurun K., Turan N.

Synthesis, characterization, thermal, X-ray, and DFT analyses of 6-*tert*-butyl 3-ethyl 2-[(3-methoxy/5-bromo)-2-hydroxy and (3-nitro/3-methoxy)benzylideneamino]-4,5-dihydrothieno[2,3-c]pyridine-3,6(7H)-dicarboxylate

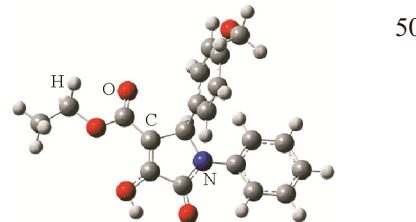
Keywords: heterocyclic amin, Schiff base, DFT, X-ray



Ahankar H., Ramazani A., Saeidian H., Šlepokura K., Lis T.

Synthesis, crystal structure, and DFT studies of ethyl 4-hydroxy-2-(4-methoxyphenyl)-5-oxo-1-phenyl-2,5-dihydro-1*H*-pyrrole-3-carboxylate

Keywords: pyrrolidinone derivative, multicomponent reaction, single-crystal X-ray analysis, density functional theory, electrophilicity index

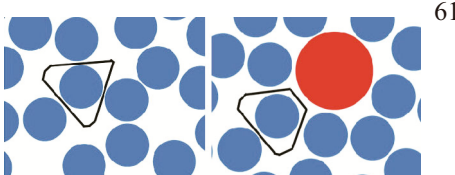


СТРУКТУРА ЖИДКОСТЕЙ И РАСТВОРОВ

Кадцын Е.Д., Ничипоренко В.А., Медведев Н.Н.

Использование разбиения Вороного для интерпретации объемных свойств раствора

Ключевые слова: молекулярно-динамическое моделирование, водные растворы незелектролитов, объемные свойства, метод Вороного, объем области Вороного, структура раствора, ассоциация, *тремт*-бутанол



Теплухин А.В.

Расчет термодинамических и структурных характеристик жидких углеводородов методом Монте-Карло

Ключевые слова: полимеры, моделирование, Монте-Карло, NpT , параллельные вычисления

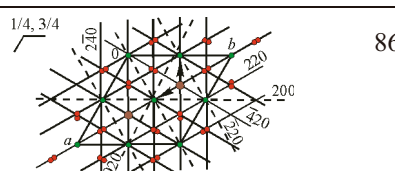


КРИСТАЛЛОХИМИЯ

Борисов С.В., Первухина Н.В., Магаридл С.А.

Кристаллографический анализ $\text{BaV}_6\text{O}_{11}$ – стабильного трафарета гексагональной симметрии

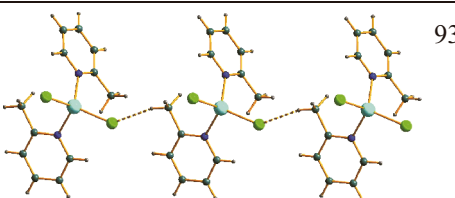
Ключевые слова: кристаллографический анализ, анионные и катионные подрешетки, симметрия–стабильность



Вершинин М А Алонин С А

Кристаллические структуры продуктов реакции $\text{CoCl}_2 \cdot 6\text{H}_2\text{O}$ с 2-метилпиридином и 2,6-диметилпиридином

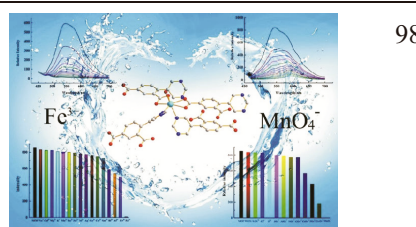
Ключевые слова: кобальт, галогенидные комплексы, N-донорные лиганды, кристаллическая структура



Zhu M., Zhu X., Wu S., Gao E.,

A water stable Cd(II) metal-organic framework for sensing pollutants with high selectivity

Keyword: fluorescent probe, highly selectively sensing, MnO_4^- and Fe^{3+} , aqueous solution

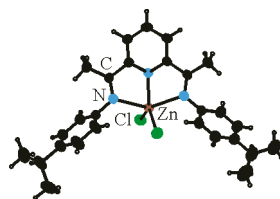


Zhu Z.M., Zhang W.J.

108

Synthesis, crystal structure, and fluorescence properties of a new monocular zinc(II) complex based on 2,6-bis{[(4-isopropylphenyl)imino]ethyl}pyridine

Keywords: zinc(II) complex, 2,6-bis(imino)pyridyl, crystal structure, fluorescence property



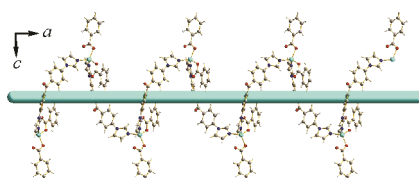
Wang G.-F., Sun S.-W., Sun H., Song S.-F.

114

Two complexes assembled from bis(4-(1H-imidazol-1-yl)phenyl)methanone and benzoic acid:

Syntheses and structural characterization

Keywords: complex, ancillary ligand, coordination polymers, synthesis, topology

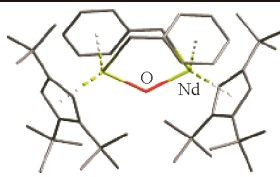


Демкин А.Г., Савков Б.Ю., Сухих Т.С., Конченко С.Н.

119

Синтез и строение нового комплекса неодима с необычным типом координации бензильного лиганда

Ключевые слова: координационные соединения, лантаноиды, неодим, бензильные комплексы, кристаллическая структура

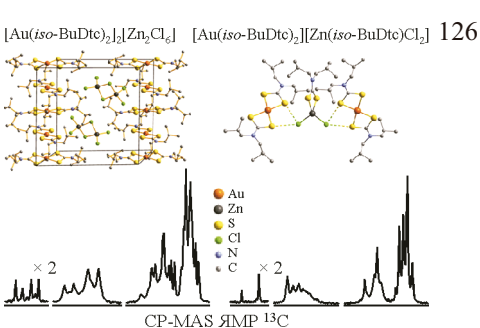


Родина Т.А., Лосева О.В., Иванов А.В.

126

Двойные ди-изо-бутилдитиокарбаматно-хлоридные комплексы золота(III) – цинка состава $[Au(S_2CNR_2)_2]_2[Zn_2Cl_6]$ и $[Au(S_2CNR_2)_2][Zn(S_2CNR_2)Cl_2]$: получение, структурная организация, CP-MAS ЯМР ^{13}C и термическое поведение

Ключевые слова: ди-изо-бутилдитиокарбамат цинка, двойные комплексы золота(III)-цинка, кристаллическая и супрамолекулярная структура, вторичные связи S···Cl, CP-MAS ЯМР ^{13}C , синхронный термический анализ

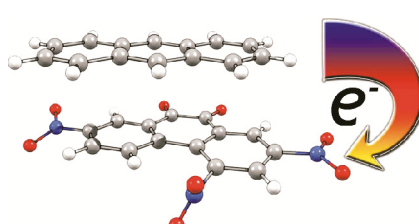


Линко Р.В., Рябов М.А., Страшнов П.В., Полянская Н.А., Давыдов В.В., Дороватовский П.В., Линько И.В., Хрусталев В.Н.

141

Комплексы с переносом заряда нитропроизводных 9,10-фенантренхинона с антраценом. Кристаллическая и молекулярная структура комплекса (1:1) 2,4,7-тринитро-9,10-фенантренхинона с антраценом

Ключевые слова: нитропроизводные 9,10-фенантренхинона, антрацен, комплексы с переносом заряда, квантово-химическое моделирование, электронные спектры поглощения, рентгеноструктурный анализ



СТРУКТУРА ФУНКЦИОНАЛЬНЫХ МАТЕРИАЛОВ

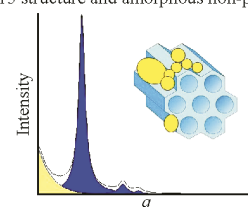
Ларичев Ю.В.

SBA-15 structure and amorphous non-porous silica

151

Исследование упорядоченности пористой структуры мезопористого материала SBA-15 методом малоугловой дифрактометрии

Ключевые слова: мезопористые упорядоченные материалы, SBA-15, МУРР, аморфный непористый кремнезем, созревание по Оствальду



Федосеева Ю.В., Городецкий Д.В., Макарова А.А.,
Юдин И.Б., Тимошенко Н.И., Плотников М.Ю.,
Емельянов А.А., Ребров А.К., Окотруб А.В.

157

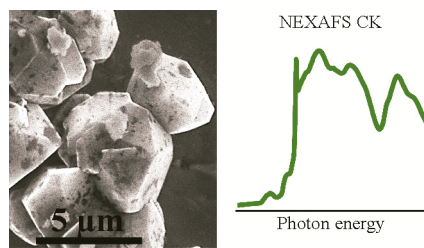
**Влияние температуры молибденовых подложек
на строение алмазных покрытий,
полученных методом газофазного осаждения
из высокоскоростного потока СВЧ-плазмы**

Ключевые слова: алмазные покрытия, газофазное осаждение, СВЧ-плазма, газоструйный метод, растровая электронная микроскопия, спектроскопия комбинационного рассеяния света, NEXAFS, рентгеноэлектронная спектроскопия

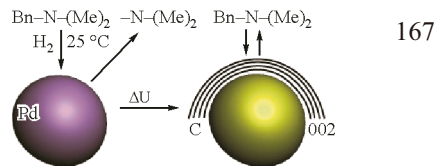
Троицкий С.Ю., Нартова А.В., Мороз Э.М.

Низкотемпературное зауглероживание активных центров – причина дезактивации катализаторов Pd/C

Ключевые слова: наночастицы Pd, TEM, XRD, RFES, Pd/C, дебензилирование, активные центры катализаторов, дезактивация



Содержание следующего номера — в конце журнала



167